

余裕時間によって動作を切り替える  
EDZL に基づいたアルゴリズムの提案と可能性解析

A scheduling algorithm based on EDZL that switches operation depending on laxity time and analysis of schedulability

上向 翔太<sup>†</sup> 兪 明連<sup>†</sup> 中村 徹<sup>†</sup>  
Shota Uemukai Myungryun Yoo Toru Nakamura

## 1. はじめに

アプリケーションやロボットの出現により、高性能なプラットフォームを必要としている。組込システムには消費電力の制約があり、プロセッサ自体の性能を上げることが難しくなっているためマルチプロセッサ技術による性能の向上、リアルタイム性の保証が重要である.[1] また、その中でもマルチプロセッサ環境下において効率の良いタスク処理のスケジューリングが求められている。しかしシングルプロセッサ環境下におけるタスク処理のスケジューリング方法である RM(Rate Monotonic)[2] や EDF(Earliest Deadline First)[2] はマルチプロセッサ環境では最適ではないと知られている。マルチプロセッサ環境下で CPU を 100% 利用できるアルゴリズムも提唱されている[3][4]が、複雑でかつコンテキストスイッチも多いため実用には至っていない。そこで EDF を基にしたマルチプロセッサ環境用のスケジューリングアルゴリズムに EDZL(Earliest Deadline Zero Laxity) [5]が提案されたがまだ改善点を抱えている。

### 1.1 システムモデル

本研究では、周期的タスクからなるタスクセットのスケジューリングを対象とし、以下のシステムとして定義する。また本論文で用いる記号を表 1 にまとめる。

表 1. 各記号とその意味

記号	意味
$M$	プロセッサ数
$N$	タスク数
$\tau$	タスクセット
$\tau_i (\tau_i \in \tau)$	タスクセット内の $i$ 番目のタスク
$C_i$	$\tau_i$ の最悪実行時間
$T_i$	$\tau_i$ の周期
$U_i = C_i/T_i$	$\tau_i$ のタスク利用率
$U = \sum_{i=1}^N U_i$	システム全体の負荷
$U/M$	システム利用率

システムは  $M$  個のプロセッサを持ち、タスクセット  $\tau$  は各タスク  $\tau_i (i = 1, 2, \dots, N)$  によって構成されている、すなわち  $\tau = \{\tau_1, \tau_2, \dots, \tau_N\}$  である。また各タスクは独立しているとする。すなわち各タスクに実行順序などの依存関係はないものとする。各タスクはプリエンプト可能であるがどのようなタスクも複数のプロセッサで同時に実行することはできないものとする。

各タスク  $\tau_i$  は  $\tau_i = (C_i, T_i)$  と定義され、その利用率は  $U_i =$

$C_i/T_i$  とする。あるジョブのデッドラインは次のジョブのリリース時刻となる。

### 1.2 関連研究

#### 1.2.1 EDF(Earliest Deadline First)

EDF[2] はスケジューラがタスクの起動時と完了時に起動し、デッドラインの早いジョブほど高優先度が与えられるアルゴリズムである。図 1 はあるタスクセットをプロセッサ数 2 の EDF で処理した場合の実行例である。この場合のデッドラインオーバー量は 4、スケジューラ起動回数は 4 回となる。

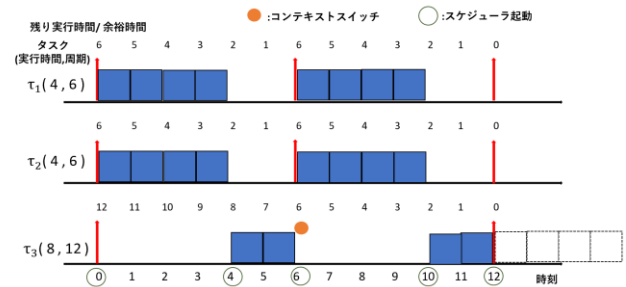


図 1 EDF の実行例

#### 1.2.2 EDZL(Earliest Deadline Zero Laxity)

EDZL[5] はスケジューラが毎単位時間起動し、デッドラインの早いタスクほど高優先度が与えられるが、余裕時間が 0 になったタスクに最高優先度が与えられるスケジューリングアルゴリズムである。余裕時間とはあるタスクの現在時刻からデッドラインまでの時間から残り実行時間を引いたものであり、これがゼロになったときにそのタスクが速やかに実行されなければデッドラインミスを起こすということを意味している。

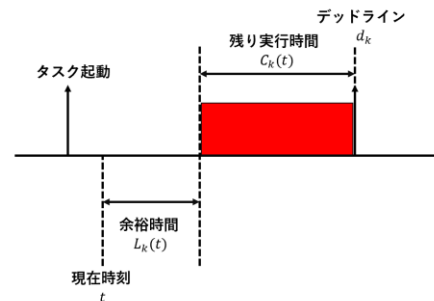


図 2 余裕時間の概念図

プロセッサ数を 2 とし、図 1 と同じタスクセットを対象に EDZL で実行した場合の実行例は図 3 のようになり、この場合のデッドラインオーバー量は 2、コンテキストス

<sup>†</sup> 東京都市大学 Tokyo City University

千回数は 2 回,スケジューラ起動回数は 12 回となり, EDF に比ベッドラインオーバー量が減ったがスケジューラが毎単位時間起動するためオーバーヘッドが多いという問題点を持つ。

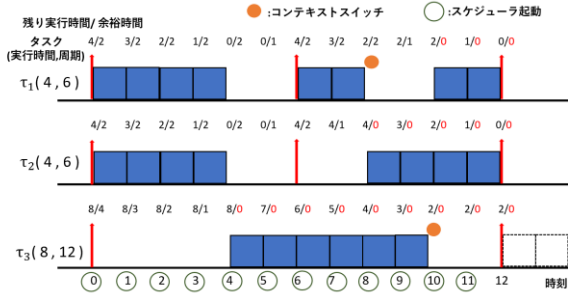


図 3 EDFZL の実行例

## 2. 提案手法

1.2 で述べた関連研究から本研究では EDF と EDZL を余裕時間がクリティカルなタスクが存在するかで切り替えるアルゴリズムを提案する。余裕時間がクリティカルとは,そのタスクの余裕時間が最もデッドラインの早いジョブの最小の残り実行時間よりも小さいことを指す。

余裕時間がクリティカルなタスクがない間はスケジューラはタスクの起動時と完了時とし, デッドラインが早いタスクを優先実行する。余裕時間がクリティカルなタスクがある間は毎単位時間スケジューラが起動し, 余裕時間が 0 のタスクを最優先, 次にデッドラインが早いタスクを優先的に実行する。プロセッサ数を 2 とし, 図 1 と同じタスクセットを提案手法で実行した場合の実行例は図 4 のようになり, この場合のデッドラインオーバー量 2, コンテキストスイッチ回数は 2 回, スケジューラ起動回数は 9 回となる。

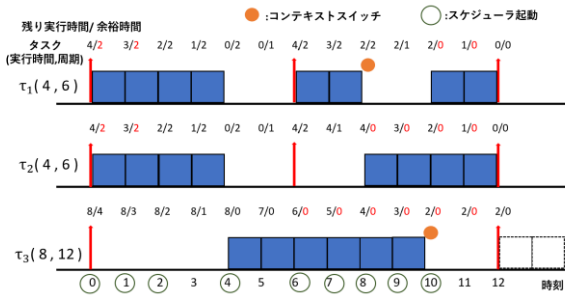


図 4 提案手法の実行例

## 3. 可能性解析と評価

### 3.1 可能性解析

スケジュール可能性解析とは与えられたタスクセットがスケジュール可能か否かを判定することのできる条件を求めることである。本研究ではタスクの反応時間解析 (Response Time Analysis)[6]に基づいた方法で行う。

そのためにここで 2 つの用語を定義する。

定義 1(干渉長).  $I_k$  を区間  $[a, b)$  において  $\tau_k$  がプロセッサ数以上の高優先度タスクによってブロックされている長

さの合計を,  $I_k^i$  は  $\tau_i$  がブロックされて実行できない区間の長さを表す。

定義 2(仕事量)  $W_i$  はタスク  $\tau_i$  が区間  $[a, b)$  において実行しなければならない実行量を指す。

また干渉長に関する補題を以下に示す。

補題 1  $I_k(a, b) = \sum_{i=1}^N I_k^i(a, b) / M$  が成立する。

Proof. グローバル方式のスケジューリングアルゴリズムは仕事量を保存するためジョブが実行可能であるのに実行されないとき, 各プロセッサは必ずほかのタスクのジョブにより占有されているということは明らかである。

補題 2 すべてのグローバルスケジューリングアルゴリズムにおいて以下の式が成立する。

$$I_k(a, b) \geq x \Leftrightarrow \sum_{i \neq k} \min(I_k^i(a, b), x) \geq Mx \quad (1)$$

Proof.  $\varepsilon$  を  $I_k^i(a, b) \geq x$  であるタスクの個数としたとき,

$$\begin{aligned} \sum_{i=1}^N \min(I_k^i(a, b), x) &= \varepsilon x + \sum_{i: I_k^i < x} I_k^i(a, b) \\ &= \varepsilon x + MI_k(a, b) - \sum_{i: I_k^i < x} I_k^i(a, b) \\ &\geq \varepsilon x + MI_k(a, b) - \varepsilon I_k(a, b) \\ &= \varepsilon x + (M - \varepsilon)x \\ &= Mx \end{aligned} \quad (2)$$

ここで  $\sum_{i=1}^N \min(I_k^i(a, b), x) \geq Mx$  とすると,

$$\begin{aligned} I_k(a, b) &= \sum_{i=1}^N I_k^i(a, b) / M \\ &\geq \sum_{i=1}^N \min(I_k^i(a, b), x) / M \\ &\geq Mx / M \\ &= x \end{aligned} \quad (3)$$

解析の手順を以下に示す。各タスク  $\tau_k$  の反応時間が最大となる状況を考える。その時のジョブを  $J_k^*$  とし, 最大反応時間を  $R_k^{ub}$  とする。ジョブ  $J_k^*$  について区間  $[r_k^*, R_k^{ub})$  における  $\tau_k$  への干渉長  $I_k$  の上限値  $I_k^{ub}$  をもとめ, 干渉長の上限値  $I_k^{ub}$  と  $\tau_k$  の実行時間から  $\tau_k$  への反応時間の上限値  $R_k^{ub}$  を求める。  $R_k^{ub}$  を求めることができれば各タスクのすべてのジョブについて他のタスクからの干渉が最も大きいジョブが実行を完了する時間(最大反応時間)を求めることで各タスクがデッドラインミスを起こすかどうかを判定できる。また解析のために 2 つの補題を示す。

補題 3 区間  $[a, b)$  において  $\tau_i$  による  $\tau_k$  への干渉長  $I_k^i(a, b)$  は仕事量  $W_i(a, b)$  を超えない。

Proof. タスクは実行しているときのみほかのタスクに鑑賞できるので干渉長と仕事量の定義により明らかである。

補題 4 タスク  $\tau_i$  の反応時間は, 下式を満たせば  $R_k^{ub}$  を超えない。

$$\sum_{i \neq k} \min(I_k^i(R_k^{ub}), (R_k^{ub} - C_k + 1)) < (R_k^{ub} - C_k + 1) \quad (4)$$

Proof. 式が成り立つとすると補題 2 より以下の式が成り立つ。

$$I_k(R_k^{ub}) < (R_k^{ub} - C_k + 1) \quad (5)$$

よって  $R_k^{ub} - C_k$  よりも長い干渉は受けない.したがって干渉長の定義により  $R_k^{ub}$  までに実行を完了することができる.

以上により各タスク  $\tau_k$  の反応時間の上限値  $R_k^{ub}$  を求めるため他のタスク  $\tau_i$  による  $\tau_k$  への干渉長を求める必要がある. マルチプロセッサシステムにおける  $\tau_i$  がデッドラインミスを起こさない場合の最悪の仕事量の上限値は以下の式で計算できる.

$$N_i(R_k^{ub}) = \left\lfloor \frac{R_k^{ub} - C_i + T_i}{T_i} \right\rfloor \quad (6)$$

$$\omega_i(R_k^{ub}) = N_i(R_k^{ub})C_i + \min(C_i, R_k^{ub} - N_i(R_k^{ub})T_i - C_i + T_i) \quad (7)$$

EDF の場合,タスクはより早いデッドラインを持つタスクにのみ干渉される.したがって  $\tau_k$  と  $\tau_i$  のデッドラインが同じ場合に仕事量が最大となる. [7]さらに EDF でデッドラインミスが起きない場合  $\tau_i$  の干渉してくる範囲は最大でもデッドライン分(本研究では  $T_k$  と同じ)長さでありその具体例を図 5 に示す.

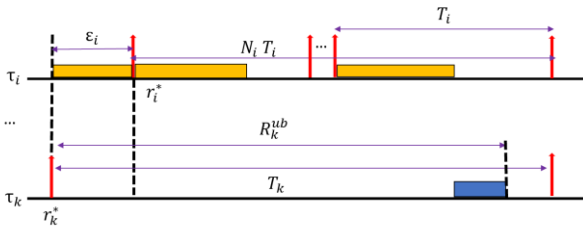


図 5 EDFにおける仕事量

区間  $[r_k^*, r_k^* + T_k)$  での  $\tau_i$  の仕事量は図 5 より最悪実行時間分がすべて実行できるジョブの実行時間分とリリース時刻が区間  $[r_k^*, r_k^* + T_k)$  より前でデッドラインが区間内にあるようなジョブ(以下 carry-in ジョブ)の実行時間(図 5 中の  $\epsilon_i$  部分)を足すことで求めることができる.

最悪実行時間分をすべて実行できる  $\tau_i$  のジョブの数を  $N_i(T_k)$  とすると以下の式で求めることができる.

$$N_i(T_k) = \left\lfloor \frac{T_k}{T_i} \right\rfloor \quad (8)$$

また carry-in ジョブの仕事量は以下の式で求めることができる.

$$\epsilon_i = \min(C_i, T_k - N_i(T_k)T_i) \quad (9)$$

よって  $\tau_i$  の仕事量の最大値は以下の式で求めることができる.

$$W_i^{ub}(T_k) = N_i(T_k)C_i + \min(C_i, T_k - N_i(T_k)T_i) \quad (10)$$

ここで補題 4 よりの干渉長の上限値はとなり, 以上から EDF におけるタスクの反応時間の上限値が求められる.

定理 1 EDF でスケジュールされたマルチプロセッサシステムのタスクの反応時間の上限値は, 以下の式(11)の  $R_k^{ub}$  に関して  $R_k^{ub} = C_k$  から始まる不動点反復法で求めることができる.

$$R_k^{ub} \leftarrow C_k + \left\lfloor \frac{1}{M} \sum_{i \neq k} \hat{r}_i(R_k^{ub}) \right\rfloor \quad (11)$$

ただし,

$$\hat{r}_i(R_k^{ub}) = \min(\omega_i(R_k^{ub}), W_i^{ub}(T_k), R_k^{ub} - C_k + 1) \quad (12)$$

であり,  $W_i^{ub}(T_k)$  は式(10)で求められる値である.

Proof. 背理法により証明する. 収束した  $R_k^{ub}$  の値より  $\tau_k$  の値

が大きいと仮定する. 収束した  $R_k^{ub}$  の値は以下の式(13)で求められる.

$$R_k^{ub} = C_k + \left\lfloor \frac{1}{M} \sum_{i \neq k} \min(\omega_i(R_k^{ub}), W_i^{ub}(T_k), R_k^{ub} - C_k + 1) \right\rfloor \quad (13)$$

補題 3 より  $W_i^{ub} \geq I_k^i(r_k^*, r_k^* + R_k^{ub})$  が成り立つ. したがって

$$R_k^{ub} \geq C_k + \left\lfloor \frac{1}{M} \sum_{i \neq k} \min(I_k^i(R_k^{ub}), R_k^{ub} - C_k + 1) \right\rfloor \quad (14)$$

仮定と補題 4 の逆から

$$R_k^{ub} \geq C_k + \left\lfloor \frac{1}{M} M (R_k^{ub} - C_k + 1) \right\rfloor = R_k^{ub} + 1 \quad (15)$$

この式は矛盾しており. よって背理法より定理が示された. 以上により EDF における反応時間の最大値を計算できるが, 干渉するタスク  $\tau_i$  の余裕時間の下限値  $L_i^{lb} = T_i - R_i^{ub}$  を考慮することにより干渉長を低く見積もることが可能である. 図 6 は余裕時間の下限値を考慮した状態の図である.

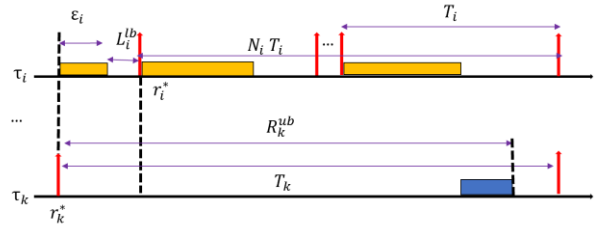


図 6 余裕時間の下限値を考慮した仕事量

したがって図 6 より式(10)は式(16)のように書き換えることができる.

$$W_i^{ub}(T_k) = N_i(T_k)C_i + \min(C_i, T_k - N_i(T_k)T_i - L_i^{lb}) \quad (16)$$

ただし,  $N_i(T_k)$  の値は式(8)の変わらず,  $L_i^{lb} < 0$  であった場合は  $L_i^{lb} = 0$  として計算するものとする.

定理 2 タスクセット  $\tau = \{\tau_1, \tau_2, \dots, \tau_N\}$  はすべてのタスクが式(17)を満たせば EDF によってスケジュール可能である.

$$L_k^{lb} = T_k - R_k^{ub} \geq 0 \quad (17)$$

EDZL での仕事量の求め方は EDZL と同じである.

提案手法での仕事量の求め方は, 余裕時間がクリティカルなタスクが存在するかで動作が切り替わるが, EDF と EDZL で仕事量が同じため提案手法でも同じ求め方になる.

プロセッサ数を 2 とし, システム利用率が 5%刻みで 50% から 100% までのタスクセットをそれぞれ 1000 個ずつ作成したときの反応時間解析での成功率を図 7 に示す.

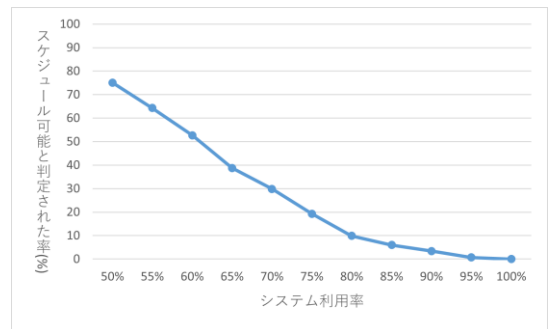


図 7 反応時間解析での成功率

### 3.2 評価

プロセッサ数を 2 とし, システム利用率が 5%刻みで 50% から 100%までのタスクセットをそれぞれ 1000 個ずつ作成しそれぞれのアルゴリズムで処理したときのスケジュール成功率とデッドラインオーバー量をそれぞれ図 8 と図 9 に示す.

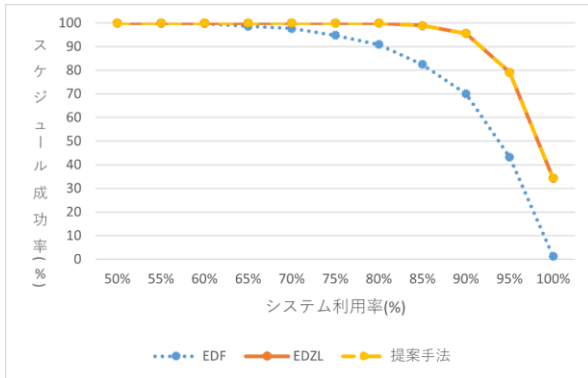


図 8 スケジュール成功率

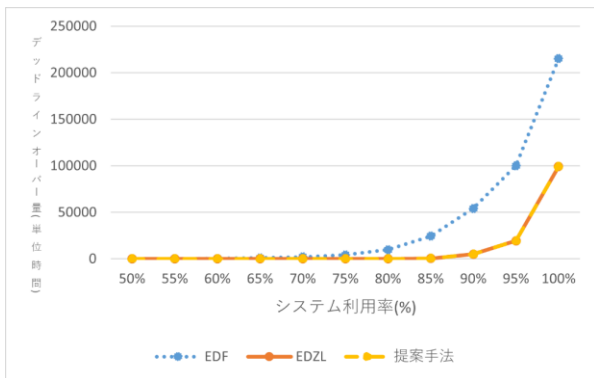


図 9 デッドラインオーバー量

図 8 と図 9 の結果より,提案手法のスケジュール成功率とデッドラインオーバー量は EDZL とまったく同じだということがわかる.また図 10 にスケジューラの起動回数を示す.

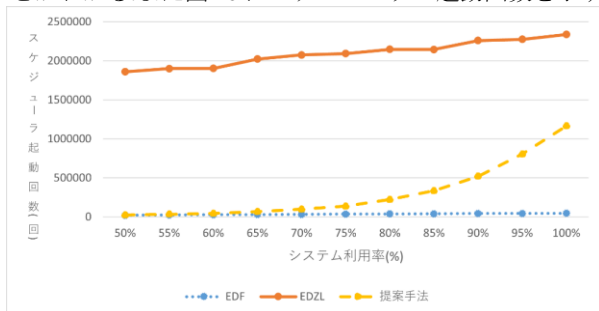


図 10 スケジューラ起動回数

図 10 の結果より,提案手法のスケジューラ起動回数は EDF よりは多いが EDZL と比較して低負荷時は特に削減に成功しているといえる.

### 4. おわりに

本研究で EDF と EDZL の動作を動的に切り替えることによってスケジュールの成功率を維持したままスケジューラの起動回数を削減することに成功した.しかしこれはシミュレーションでの結果であり,実際の組み込みシステムなどに搭載した場合のオーバーヘッドなどは未知数であるため今後の課題とする.

#### 謝辞

本研究は JSPS 科研費 20K11755 の助成を受けたものです

#### 参考文献

- [1] 武田瑛, 船岡健司, 加藤真平, 山崎信行, “マルチプロセッサにおけるグローバル RM に基づくリアルタイムスケジューリングアルゴリズム”, 電子情報通信学会技術研究報告, CPSY, 107 巻, 558 号, pp.191-196, (2008)
- [2] C. L. Liu and J. W. Layland, “Scheduling Algorithms for Multiprogramming in a HardReal-Time Environment”, Journal of ACM, Vol. 20, No. 1, pp. 46-67 (1973)
- [3] B. Andersson and E. Tovar, “Multiprocessor Scheduling with Few Preemptions”, IP PHurray, Technical Report, August (2006)
- [4] H. Cho, B. Ravindran and E. D. Jensen, “An Optimal Real-Time Scheduling Algorithm for Multiprocessors”, Proceedings of the 27th IEEE Real-Time Systems Symposium, pp. 101-110 (2006)
- [5] S. Cho, S. Lee, A. Han, and K. Lin, “Efficient real-time scheduling algorithms for multiprocessor systems”, IEICE Trans Communications, Vol. E85-B, No. 12, pp. 2859-2867 (2002)
- [6] M. Bertogna and M. Cirinei: Response-time Analysis for globally scheduled symmetric multiprocessor platforms, 28<sup>th</sup> IEEE International Real-Time Systems Symposium pp.149-160, 2007
- [7] M. Bertogna, M. Cirinei and G. Lipari : Improved schedulability analysis of EDF on multiprocessor platforms, In Proceedings of the EuroMicro Conference on Real-Time Systems, pp209-218, 2005